

に示す。このデータを分析して見ると、本実験に使用したガスクロマトグラフィーの精度は(30~35%)極めて悪く、たとえ、供給ガスの流入時における、注入誤差(5%弱)があつたとしても、おおき過ぎるようである。また過去種々の文献でもいわれているごとく、精度10%維持させ得るための、必要試験回数も供給ガス量を増すにしたがい、増加させなければならない。すなわち、試料供給量の増加は、ガスクロマトグラフィーの感度の低下(分離能の低下による)をきたすことが、わかつた。次にこれら感度低下の直接的原因としての諸因子について実験を試みた。

1) フィラメントブリッジにおける battery 電圧の低下に基づく誤差

2) 試料溜めよりの試料注入動作誤差

3) Carrier gas 流速の変化による誤差

これらの誤差は、全部が偶発的誤差であるため、この調査は、非常な困難を要した。いずれも満足させ得る実験数が得られなかつたが、一応、今後の指針となるものが得られたのでここに報告する。

(i) フィラメントブリッジにおける battery 電圧の低下に基づく誤差

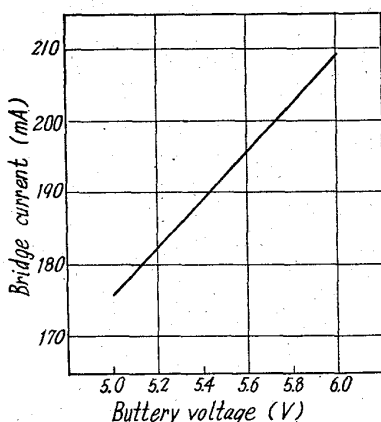


Fig. 2. Variation of bridge current with voltage drop of battery.

うなずける。

(ii) 試料溜めよりの試料注入動作の誤差

試料注入動作を遅くしても、あまりピーク面積の変化はきたさない。即ち、普通4~5sの動作で試料をcarrier gas中に送り出しているため、遅くとも6~7s程度で、8s以上となることは、まずありえない。そのためこの誤差は無視しても良いのではないか。ただしこれは、水素、窒素、成分ガスについてのみいえることで、他の成分の場合、どうなるかは実験をやつていないため、本報には報告できない。

(iii) Carrier gas の流速の変化による誤差

一般にピーク面積の測定には“半値巾×ピーク高さ”が用いられている。しかしながら、Fig. 3でもわかるところおり、carrier gas の流速が、あまり遅いと、ピーク高さとピーク半値巾はあまり変化しないが、retention time と底辺巾は大きな変化を示す。このため carrier gas の流速は、25~30 ml/mn に設定すべきである。ま

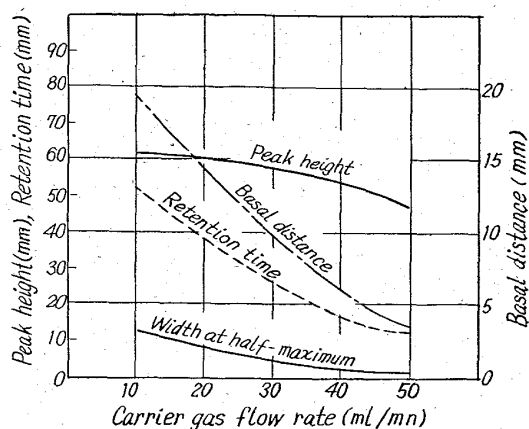


Fig. 3. Effect of carrier gas flow rate on profile.

たこの条件は誤差に対しても低い傾向を示すようである。

III. 結 言

確かにガスクロマトグラフィーは簡便にして迅速なる分析結果をうることができ。しかしながら、本実験においては、精度の面で、あまりかんばしくない結果を示している。この欠点をカバーする意味から、日常作業に従事する場合、十分なる管理条件が設定されていることが望ましいことである。なお、その諸対策としては、

(1) 標準となる gas sample を設け、長期間にわたってチェックし満足すべき精度を維持できるような体制にする。

(2) ガスクロマトグラフィーの誤差の諸因子を明確付ける。

(3) 試験器の精度を高める意味から、上記2項目が、設定されるまでは、試験回数を増加させなければなるまい。われわれが行なつた試験結果では、精度 10% 維持するために必要な最低繰り返し試験回数は、供給ガス量にもよるが、10~15回行なえばよいようである。

543, 544, 25, 621, 785, 062

(54) メタン内部標準法による炉内雰囲気ガスのガスクロマトグラフ分析

関東特殊製鋼

63244

工博 岡 友美・根本 弘

○細井 朝次・坂井 康匡

Gas Chromatographic Analysis of Furnace Atmosphere by CH₄ Internal Standard Method.

Dr. Tomomi OKA, Hiroshi NEMOTO,
Asaji Hosoi and Kanemasa SAKAI.

I. 緒 言

炉内ガスのガスクロマトグラフによる分析に関する報告は、いろいろとなされてきている。ここでは、燃焼中の鉄鋼加熱用の各種炉から、吸引によって直接雰囲気ガスを採取し、メタンを用いる内部標準法にて定量することを試み、ある程度の成果を挙げ得たので、報告する。

II. 装置および定量法

雰囲気ガス試料は、予め排気しておいた約 150 ml 容量の試料採取ビンに、油廻転真空ポンプで吸引して採取した。採取管は 6 mm ⌀ ステンレス管 2 m で、これにアスペクト・リボンをまきつけその上に 30 mm ⌀ 鉄管を保護管としたものである。よつて水置換の場合の如く水が混入するおそれをなくし、また、採取時間が短いため、採取管が侵されることも防ぐことができた。更に採取されたガスは急冷されることによつて、炉内における組成から変化しないようにすることができた。

用いた装置は、島津ガスクロマトグラフ GC 2 B 型である。カラムは、内径 4 mm の銅管で、吸着剤には、H₂, O₂, N₂, CO 用として、モレキュラーシーブ 5A 2 m を、CO₂ 用として活性炭 0.8 m をそれぞれ用いた。定性分析の結果、試料ガス中には、CH₄ を含まないことが認められた。また、CH₄ は上述の 2 種の充填剤によりよく分離されたため、CH₄ を用いる内部標準法により、条件の変化による検量線の変動を防いだ。キャリヤーガスにはアルゴン 60 ml/mn を使用し、温度は 40°C で操作した。定量は、ピーク面積を島津自動積分器 M I I 型(回転ディスク型)で測定して行なつた。

カラム流路は、特殊多方コック(GC 2 B 型のガス・サンプルコック)を用いた。Fig. 1 に示すようなものである。図において、キャリヤーガスはコックに入る前に 2 分され、コックが実線の位置の時は、一方はそのままカラム II → セル II と流れ対照側となり、他方はコックから試料導入系(Fig. 2 参照)に入り、ここで試料ガスと一緒になつてカラム I からセル I で分離検出される。コックの位置が点線の場合は、この順序が逆になるので、カラム I, II にそれぞれモレキュラーシーブ、活性炭を充填しておけば、コックを実線一点線と切換えることにより、CO₂ を含む炉内ガスを検出することができるものである。また、カラム II の出口に接続するニードルバルブは、カラム I および II のキャリヤーガス流速をほぼ等しくなるようにバランスさせるためのものである。両方の出口に流量計を接続しておけば、キャリヤーガス流量の変動の影響を防ぐことができる。

この流路では試料の導入が 2 回必要であるが、常にいずれか一方のセルが対照側になることが確保されているため、一般の中間セル方式のごとく条件の変動によるピークの重なり合い、その他対照側の不確実さによる失敗が防ぎえて検出が完全である。

試料ガスの導入には、Fig. 2 のような新設計の導入系を用いた。これは三方コック、計量管、試料だめ、水銀だめからなるもので、各部の接続はクリップを用いて固定する球面すり合わせである。流路を充分排気したのち、内部標準ガスをはかりとり、これを試料だめに移す。次に再び、流路を排気して試料ガスをはかりとり、これも試料だめに入れる。ここでコックを、切換えて少量のキャリヤーガスを試料だめ中に導いてコックを閉じる。

水銀だめをおし上げて、ガスを充分圧縮したのちコックを開いて、キャリヤーガス気流中に試料を導入する。改良ガスサンプルコックの切換えによつて活性炭側とモレキュラーシーブ側とでそれぞれ分離を行なうのであるが、これは勿論、各回それぞれ上述の操作により試料ガスと内部標準ガスとの混合ガスを導入する。

III. 実験結果および考察

メタンを内部標準ガスとした各成分の検量線を Fig. 3 に示す。この図は、ピーク面積および導入量の各成分に対するメタンの比率で示してある。検量線の直線性は、

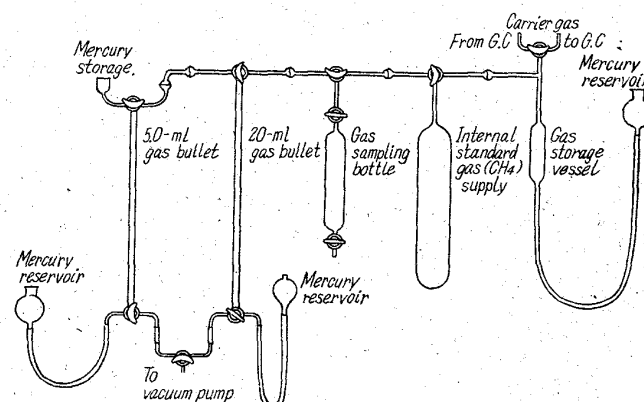


Fig. 1. Schematic of gas injection system.

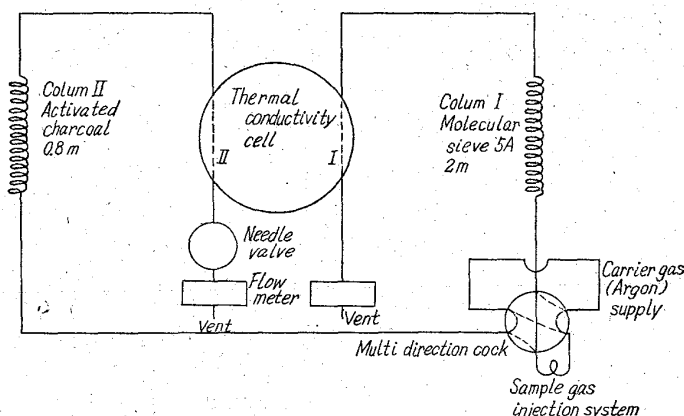


Fig. 2. Gas flow system.

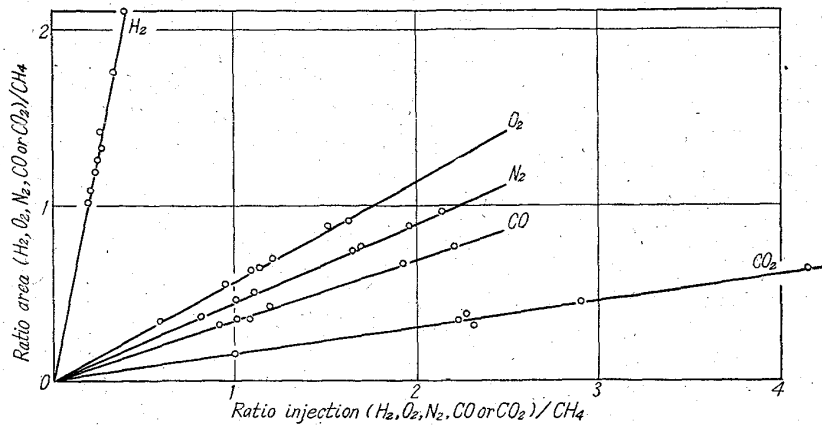


Fig. 3. Calibration curves ratio injection.
(H₂, O₂, N₂, CO or CO₂)/CH₄

Table 1. Analysis of heating furnace atmosphere.

Sample number	Furnace	Analytical results (vol. %)					
		H ₂	O ₂	N ₂	CO	CO ₂	total
1	Coal furnace 2-10	0	12.7	76.6	0	3.2	92.5
2	Oil furnace p-2	0	2.9	84.5	0	12.6	100.5
3	" " 5-2	0	10.1	79.8	0	5.1	95.0
4	" " p-4	tr	6.1	85.7	0	2.2	94.0
5	" " p-3	0.4	7.8	80.7	0	7.0	95.9
6	" " p-2	0	1.3	86.9	0	14.5	102.7
7	" " p-4	0	8.1	88.5	0	8.5	105.1

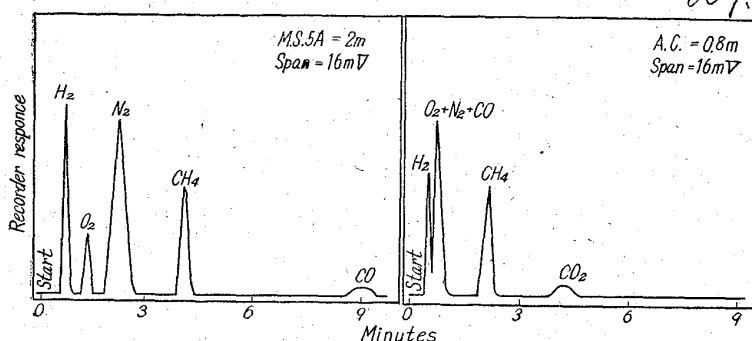


Fig. 4. Tipical chromatograms

いずれの成分もきわめてよいが、CO および CO₂については、直線の勾配が小さいことから他成分に比して、多少感度が低いように思われる。条件の変動による検量線の変動はみとめられなかつた。

炉内雰囲気ガスの分析結果の例を Table 1 に示す。Fig. 4 には、えられたガスクロマトグラフの例を示す。この図の CO₁ および CO₂ のピークが、ややブロードなものになつてることから明らかなように、この両成分の精度はあまり高いものとはいえない。これは、キャリヤーガスとしたアルゴンと、これら両成分との熱伝導度のちがいが小さいこと、試料ガス中のこれら両成分の量が比較的少ないとなど、主な原因ではないかと思われる。

IV. 結 言

(1) 新しい設計による試料導入装置を用いて、試料ガスと内部標準ガスとを混合して、ガスクロマトグラフに導入するようにした。これによつて、迅速かつ正確にガスのはかりとりを行なうことができた。

(2) 試料導入用のコックを工夫することにより、内部標準法に適するようなダブルカラム流路となし、分析操作を迅速かつ連続的に行なえるようにした。

(3) メタンを用いる内部標準法により、直接法と比べて検量線の変動を低くすることができた。

669, 184, 244, 66, 669, 162, 275, 1 (55) 作業成績におよぼす溶銑配合率の影響 63245

(純酸素転炉の操業について—II)
八幡製鉄所戸畠製造所 1963 ~ 1965

下郷良雄・森田重明・西脇 実
田中 功・○荒木八郎

Effect of Pig Ratio on the Operational Results.
(On the operation of an LD converter—II)

Yoshio SHIMOGO, Shigeaki MORITA
Minoru NISHIWAKI, Isao TANAKA
and Hachiro ARAKI.

I. 緒 言

溶銑配合率が製出鋼歩留におよぼす影響を前報で明らかとしたが、その他の諸原単位並びに作業能率に対してどのように影響するかを調査することは生産計画上重要である。もとより生産する鋼種の構成割合および作業方法によつて大きく変り、必ずしも一次的な要因によつて取扱うことはできない。これまでの戸畠第1転炉工場における操業実績、試験結果から推定を加えて、これらを取纏めた。

II. 調 査 内 容

生産実績では溶銑配合率は 74% から 82% の範囲となつてゐる。更に高溶銑配合試験として 90% までを実施して結果を検討した。なお取纏めに当つては各鋼種分類毎に諸原単位並びに能率について調査し、それらを Table 1 に示す鋼種の構成割合として平均化した。高溶銑配合率においては、安定した作業成績を得るために一定の炉内容積を維持する必要があり、溶銑配合率 82% 以上では 1 チャージ当りの出鋼量を下げて作業性の安定をはかつた。これらの結果を Fig. 1, Fig. 2 に示す。

III. 歩留および諸原単位におよぼす影響

1. 良塊歩留

Table 1. Percentage of the type of steel.

	Type of steel			
	L. C. Rimmed or Capped	M. C. rimmed	M. C. semi-killed	L. C. killed
Monthly production, pct	75	10	5	10